

# Komunikacja człowiek komputer - sprawozdanie z aplikacji Mask Detector

Gorgoń Adam - 145278  
Grochowska Paulina - 145284

9 grudnia 2021

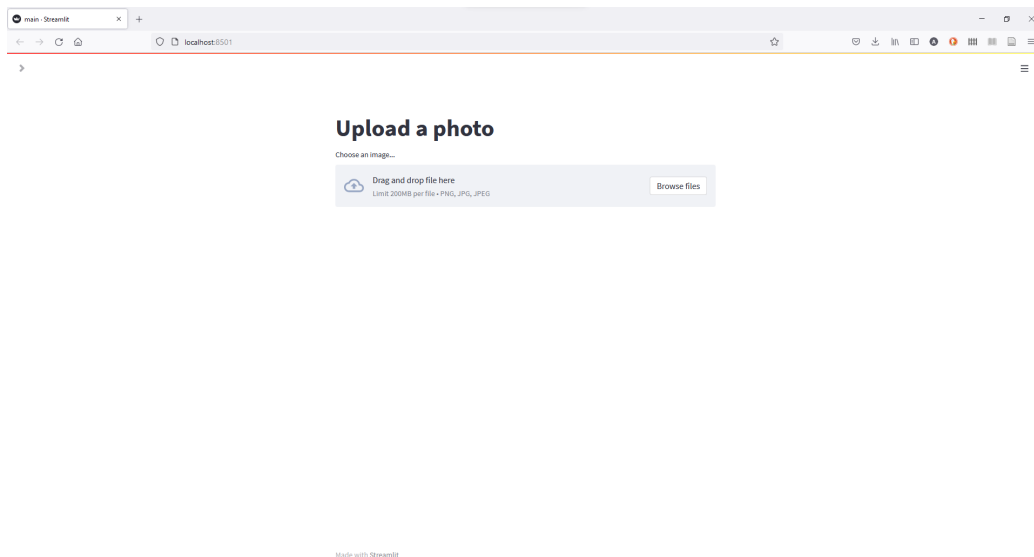
## 1 Wstęp

Celem projektu jest zaimplementowanie aplikacji do wykrywania, czy osoba ma założoną maskę ochronną. Podczas tworzenia projektu wgłębiliśmy się nie tylko w metody wykrywania twarzy, maski, lecz także w miarę potrzeby poszerzyliśmy swoją wiedzę o strukturze i sposobie działania sieci neuronowej. Nasz program znajduje się na [githubie](#). Dodatkowo trzeba wrzucić pliki z zipa „modele.zip” do folderu data.

## 2 Prezentacja aplikacji

Po włączeniu aplikacji webowej na ekranie pojawia się przycisk, który umożliwia wgranie wcześniej przygotowanego zdjęcia. Po użyciu komponentu pojawia się okno menedżera plików. Po wybraniu i zatwierdzeniu zdjęcia o formacie .jpg, .jpeg lub .png okno zamyka się, a aplikacja zaczyna przetwarzanie obrazu. Po paru sekundach w przeglądarce pojawia się nasze zdjęcie z modyfikacjami.

Pierwszą z nich jest kolorowa ramka wskazująca na lokalizację twarzy. Może ona wystąpić w dwóch wariantach kolorystycznych: czerwonej lub zielonej. Czerwona oznacza, że po przetworzeniu zdjęcia przez sieć neuronową uznano, iż osoba na zdjęciu nie posiada założonej maseczki ochronnej. W przeciwnym razie, ramka staje się zielona. Dodatkowo nad tym prostokątem można znaleźć informację słowną o posiadaniu ('Mask') lub braku maseczki ('No Mask') w kolorze odpowiadającym kolorze ramki.



Rysunek 1: Aplikacja po otwarciu

Następną rzeczą są dwie wartości liczbowe oddzielone znakiem `'/'` zlokalizowane na lewo od napisu. Liczba znajdująca się na lewo od znaku oznacza pewność wykrycia twarzy przez model wykorzystany w algorytmie. Mieści się ona w zakresie  $[0, 1]$ . Natomiast druga liczba oznacza wartość zwróconą przez sieć neuronową. Dotyczy ona pewności wykrycia maseczki i także mieści się w zakresie  $[0, 1]$ .

### 3 Dane

Zbiór danych użytych do trenowania i walidacji modelu pochodzi ze strony [Kaggle](#). Składa się na niego dokładnie 5749 zdjęć, a na każdym z nich znajduje się co najmniej jedna osoba.

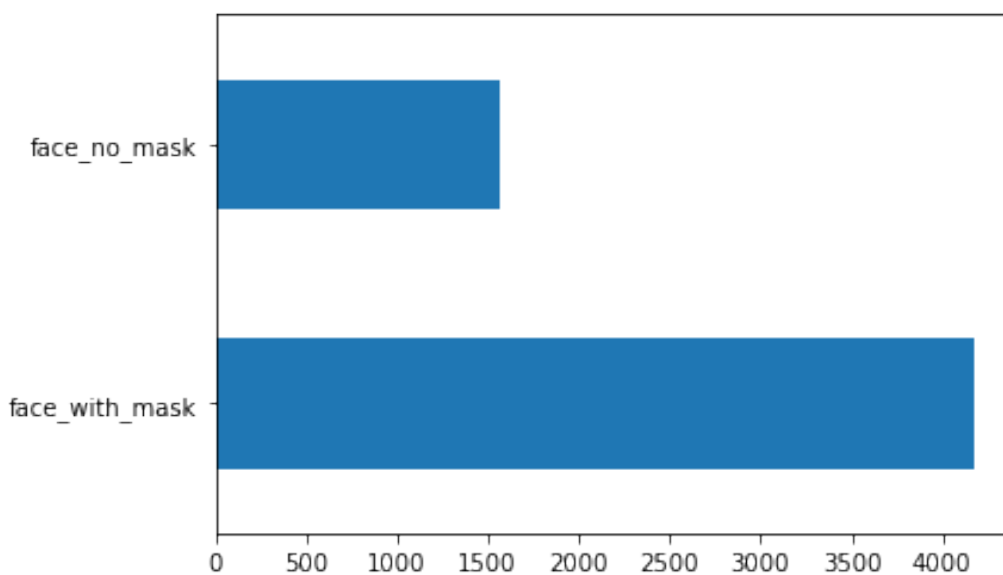
W pliku `submission.csv` znajduje się tabela z nazwą zdjęcia, koordynatami jednej lub wielu twarzy osoby oraz co najmniej jedną etykietą opisującą osobę/y. Wśród nich:

- `'face_with_mask'`,
- `'mask_colorful'`,
- `'face_no_mask'`,

- 'face\_with\_mask\_incorrect',
- 'mask\_surgical',
- 'face\_other\_covering',
- 'scarf\_bandana',
- 'eyeglasses'.

Jednak korzystaliśmy jedynie z dwóch z nich: 'face\_with\_mask', 'face\_no\_mask'. W konsekwencji otrzymaliśmy 4180 zdjęć osób w maskach oraz 1569 zdjęć osób bez masek.

Sprawą niezbalansowanych danych zajęliśmy się przy trenowaniu modelu. Dodatkowo do każdego elementu zbioru znajdował się plik .json. Pomógł on w sprawniejszym i dokładniejszym przetworzeniu każdego pliku.



Rysunek 2: Wykres przedstawiający ilość danych

```

1 {'FileName': '1801.jpg',
2   'NumOfAnno': 1,
3   'Annotations': [{'isProtected': False,
4                     'ID': 924868908868875136,

```

```

5         'BoundingBox': [451, 186, 895, 697],
6         'classname': 'face_no_mask',
7         'Confidence': 1,
8         'Attributes': {}]]}

```

Listing 1: Przykład pliku json

## 4 Użyte modele

Do wykrywania twarzy użyliśmy wytrenowanego modelu z biblioteki [OpenCV](#) w frameworku Caffe[2]. Do klasyfikacji, czy osoba posiada maskę stworzyliśmy własną sieć konwolucyjną zbudowaną na technologii tensorflow[1]. Model trenował się na cpu 3 godziny. Wczytywał zdjęcia z wcześniej wspomnianej bazy. Proporcje zbioru treningowego do testowego, wynosiły 0.8/0.2. Do lepszego wytrenowania model generował sobie zdjęcia, obracając zdjęcia o maksymalnie 15 stopni, robiąc lustrzane odbicie oraz przesuwając w pionie lub poziomie o 0.1 zdjęcia.

## 5 Działanie programu

### 5.1 Przygotowanie zdjęcia do modelu

Wczytane zdjęcie jest zmieniane na tablicę jako RGB. Następnie układ jest zmieniany na BGR. Wynika to z faktu, że podczas trenowania dane były wczytywane za pomocą biblioteki [OpenCV](#)(wczytuje bgr), a w aplikacji przez [Pillow](#)(wczytuje rgb).

Następnie rozjaśniamy obraz za pomocą korekcji gamma, by zmniejszyć efekt cienia na zdjęciu.

### 5.2 Detekcja twarzy

Model sprawdza na zdjęciu czy znajdują się twarz. Jeśli pewność algorytmu na to, że w przeszukiwanym w tym momencie prostokącie znajduje się twarz, wynosi ponad 0.5, to program przechodzi do klasyfikacji.



(a) Zdjęcie bez obróbki z źle wczytanymi kolorami



(b) Zdjęcie bez obróbki z dobrze wczytanymi kolorami

Rysunek 3: Wczytywanie zdjęcia



(a) Przed

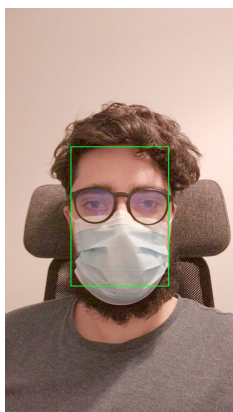


(b) Po

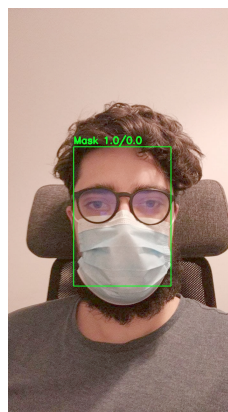
Rysunek 4: Korekcja gamma

### 5.3 Klasyfikacja twarzy

Jeśli program znajdzie twarz, to "wycina" prostokąt uznany za twarz, zmienia jego rozmiar na 124x124 i wysyła do sieci konwolucyjnej. Sieć wyrzuca liczbę w zakresie  $[0, 1]$ . Jeśli liczba jest mniejsza od 0.5, to twarz ma na sobie założoną maskę, w przeciwnym razie algorytm uznaje, że na twarzy nie ma maseczki.



(a) Algorytm znalazł twarz



(b) Algorytm sklasyfikował twarz

Rysunek 5: Działanie modelu

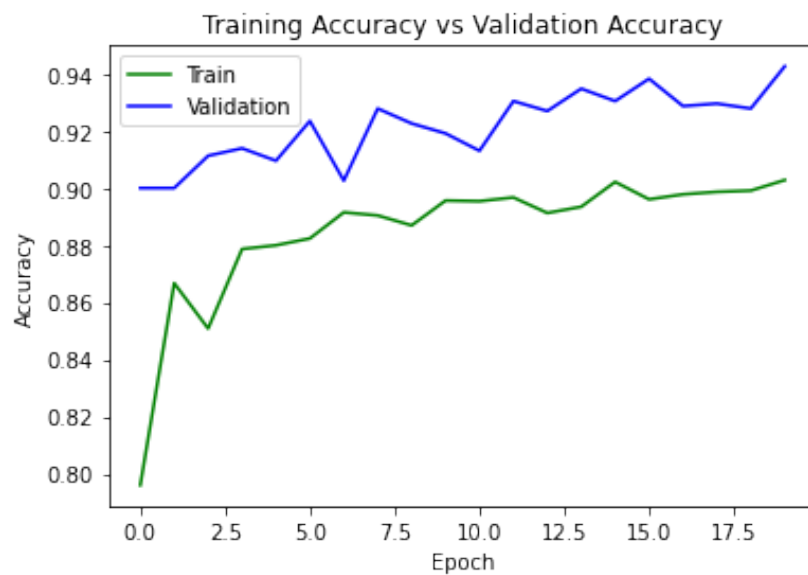
## 6 Podsumowanie

Po wytrenowaniu modelu i sprawdzeniu działania aplikacji przeanalizowaliśmy otrzymane wyniki i doszliśmy do następujących wniosków. Zdecydowana większość uzyskanych wartości była zgodna z oczekiwanymi (macierz pomyłek, wykres 9). Wystąpienie niepoprawnych dopasowań może wynikać z nieidealnego dobrania parametrów. Niemniej jednak przy zastosowaniu sieci neuronowych obecność błędów jest normalna, a uzyskana pewność jest zadowalająca na skalę, ograniczenia pamięciowe i czasowe aplikacji.

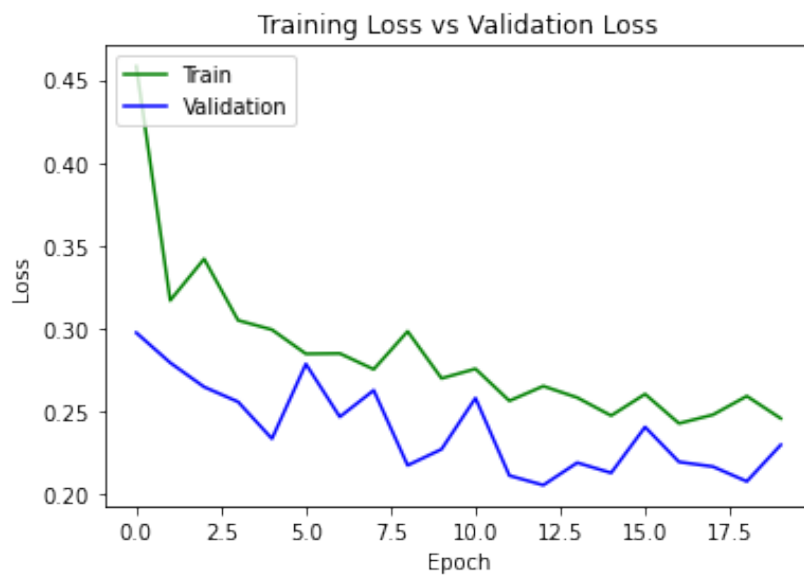
Ponadto patrząc na wykres 8 widać, że dla wartości parametru granicznego równego 0.5 otrzymujemy minimum funkcji. Oznacza to, że parametr o tej wartości zapewnia nam najmniejszą ilość pomyłek, a przy tym najlepsze rezultaty.

Analizując wykresy 6 i 7 można dojść do wniosku, że krzywa odpowiadająca za dane testowe walidacyjne szybko 'zbliżyła się' do drugiej krzywej. Wskazuje

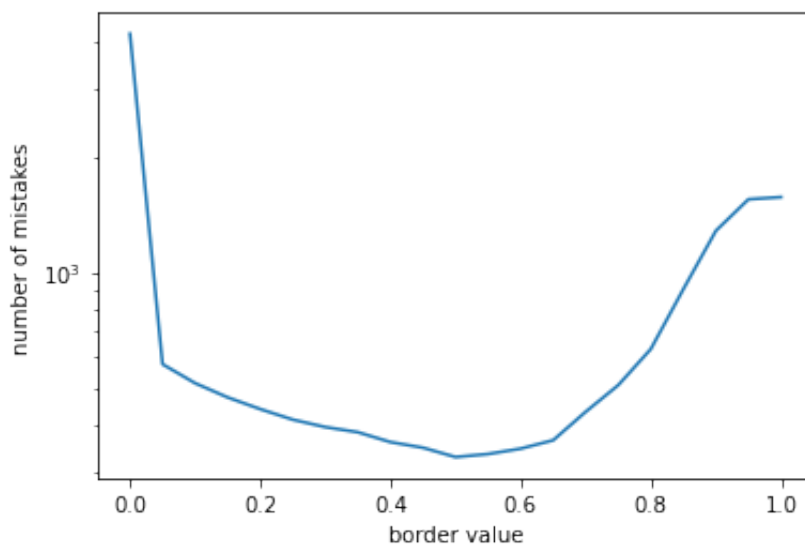
to na szybką poprawę efektywności sieci neuronowej, a także na ogólną dobrą jakość programu.



Rysunek 6: Wykres przedstawiający dokładność na danych walidacyjnych i treningowych

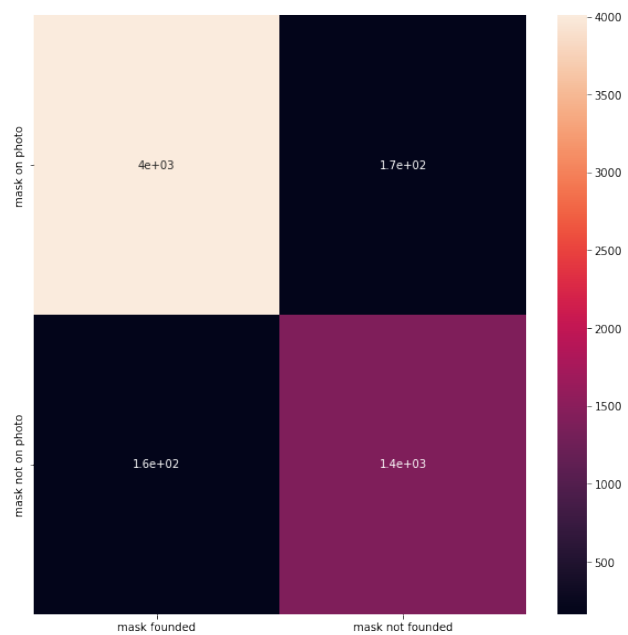


Rysunek 7: Wykres przedstawiający straty na danych walidacyjnych i treningowych



Rysunek 8: Wykres przedstawiający ilość pomyłek, przy zmianie parametru granicznego





Rysunek 9: Macierz pomyłek dla parametru granicznego o wartości 0.5

## Literatura

- [1] M. Abadi, A. Agarwal, P. Barham, E. Brevdo, Z. Chen, C. Citro, G. S. Corrado, A. Davis, J. Dean, M. Devin, S. Ghemawat, I. Goodfellow, A. Harp, G. Irving, M. Isard, Y. Jia, R. Jozefowicz, L. Kaiser, M. Kudlur, J. Levenberg, D. Mané, R. Monga, S. Moore, D. Murray, C. Olah, M. Schuster, J. Shlens, B. Steiner, I. Sutskever, K. Talwar, P. Tucker, V. Vanhoucke, V. Vasudevan, F. Viégas, O. Vinyals, P. Warden, M. Wattenberg, M. Wicke, Y. Yu, and X. Zheng. TensorFlow: Large-scale machine learning on heterogeneous systems.
- [2] Y. Jia, E. Shelhamer, J. Donahue, S. Karayev, J. Long, R. Girshick, S. Guadarrama, and T. Darrell. Caffe: Convolutional Architecture for Fast Feature Embedding.